

p 型扩散区(SiO_2/Si 系扩 Ga) 的俄歇分析

孙 琪¹ 王凤英²

(1 山东师范大学, 济南 250014)

(2 济南半导体研究所, 济南 250014)

摘要: 采用 Ga 在 SiO_2/Si 系扩散途径, 对扩 Ga 硅片进行了俄歇分析, 在 p 型区未发现重金属杂质, 表明热氧化 SiO_2 层对外来重金属有良好的屏蔽作用, 而且有利于提高硅器件的电参数性能、稳定性和可靠性.

关键词: SiO_2 层; 镍扩散; 重金属杂质; 俄歇分析

PACC: 6170T **EEACC:** 8140; 2830

中图分类号: TN301

文献标识码: A

文章编号: 0253-4177(2002)10-1088-05

1 引言

实验和实践证明, Ga 均可在裸 Si 系(无氧化膜)和 SiO_2/Si 系中掺杂, 但裸 Si 系扩 Ga, 因受各种杂质(重金属、有机物、无机物、气氛等)的污染, 且硅表面直接接触 Ga 的高蒸汽压、强扩散流, 扩 Ga 硅片易产生合金点等表面缺陷, 进而造成器件漏电流大、伏安特性较差(多数呈软击穿、低击穿)及成品率低^[1]. 采用 SiO_2/Si 系扩 Ga 工艺, 消除了裸 Si 系扩 Ga 的弊病, 主要原因是硅片(抛光)表面因有高质量的热氧化膜(SiO_2)的钝化保护作用, 在高温扩 Ga 过程中, 防止了杂质污染, 尤其是避免了重金属(Au、Fe、Cu、Ni、Mn 等)的沾污. 因此, 利用该工艺生产的硅器件, 漏电流很小, 伏安特性好, 击穿电压高, 可明显地提高器件的电参数性能、稳定性、可靠性及成品率^[1].

有的文献仅仅介绍了重金属杂质的扩散特性, 即在硅中扩散系数很大, 属快扩散杂质, 而在 SiO_2 中扩散系数很小, 属慢性扩散杂质^[3]. 但对于一定厚度的热氧化膜, 在高温扩 Ga 的同时, 是否能防止重金属杂质的污染? 为此, 我们对扩 Ga 硅片进行了俄歇分析, 证明 Ga 在有 SiO_2 膜硅片上掺杂, p 型扩散层中未发现重金属, 表明氧化层对重金属具有良好的屏蔽效应. 关于这方面的问题至今未见报道. 本文研究了 Ga 在裸 Si 系和 SiO_2/Si 系的掺杂效应及器件电参数性能, 扩 Ga 硅片样品的制备方法, 样品的

俄歇分析状况, 重金属在硅和氧化层中的扩散特性, 并分析讨论了 SiO_2 屏蔽重金属沾污而有利于提高器件性能.

2 Ga 在裸 Si 系和 SiO_2/Si 系掺杂效应及器件电参数性能

2.1 裸 Si 系开管扩 Ga

Ga 在裸 Si 系扩散, 易产生合金点、凹坑、“白雾”或“白霜”, 且扩散均匀性较差(见表 1). 造成器件漏电流大, 伏安特性差, 大多数为软击穿、低击穿, 甚至发生穿通现象, 合格率仅为 10% 左右. 早期, 我们曾采用裸 Si 系开管扩 Ga 工艺生产 3DD 系列晶

表 1 Ga 在裸 Si 系扩散的 R_s 及表面状况

Table 1 R_s and surface status of gallium diffusion in naked Si series

硅片	薄层电阻 $R_s(\Omega/\square)$	大小差值 Δx	表面状况
n 型(P 为 $3 \sim 5\Omega \cdot \text{cm}$)	24 25 20 13 27 15 25 20 32 24 38 34 35 30 24 32 30 36 38 31	19 14	有合金点、 凹坑、局部 白雾
p 型(n_s 为 $2 \times 10^{16} \text{ cm}^{-3}$, 扩铝片)	160 250 130 140 35 210 29 60 300 75	271	有合金点、 凹坑、白霜

注: 扩 Ga 条件略.

体管, 但由于产生的缺陷多, 扩散质量差, 电参数性

能不理想,并且合格率低,而被淘汰。目前,该工艺在国内外已很少采用。

2.2 SiO₂/Si系开管扩Ga

采用SiO₂/Si系扩Ga工艺,扩Ga硅片表面良好,消除了裸Si系扩Ga的弊病。扩散均匀性和重复性好(见表2),改善和提高了器件的电参数性能(见表3),漏电流很小,伏安特性好,呈硬击穿,电压水平高于硼扩管和BU₂₀₈管,产品合格率达到85%以上。

表2 Ga在SiO₂/Si系扩散的R_s及表面状况

Table 2 R_s and surface status of gallium diffusion in SiO₂/Si series

硅片	薄层电阻 R _s (Ω·□)								大小差值 Δx	表面状况
n型(ρ为 40~60Ω·cm)	28.5	28.5	28.5	28	28.5	28.5	28.5	29	28	1 良好, 均匀
	30	30	30	29.5	30	29.5	29.5	30	30	0.5 良好, 均匀
p型(n _s 为 2×10 ¹⁶ cm ⁻³ , 扩铝片)	25	22	23	23	22	24	26	20	24	6 良好, 均匀

注:表1和表2的扩Ga条件相同,略。

表3 高反压晶体管电参数比较

Table 3 Comparison of high opposite voltage transistor electric parameter

电参数\产品	3DD ₂₀₂ (扩Ga)	BU ₂₀₈ (日本)	3DD ₂₀₂ (扩B)
BV _{cbo} /V	1834	1821	1608
BV _{ceo} /V	1014	902	763
BV _{ebo} /V	11.3	9.3	12.5
V _{ces} /V	0.37	0.26	0.33
I _{cbo} /μA	13	31	10
HFE	18	17	17

注:电参数为平均值。

3 样品的制备方法

样品的制备方法分为两步:一是先在硅片(抛光)上高温氧化生长SiO₂层;二是进行开管Ga扩散,从而得到带有氧化层的扩Ga硅片样品。

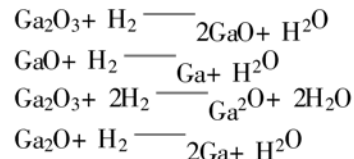
3.1 硅片热氧化

n型硅片,电阻率为5~10Ω·cm,按常规工艺进行严格的化学清洗、烘干,再进行高温氧化,温度为1200℃,氧气流量为500mL/min,氧化时间:20min(干O₂)+210min(湿O₂)+30min(干O₂)。氧化后,SiO₂膜

厚度为1~1.2μm。经镜检,氧化层表面均匀、无缺陷,质量符合制管要求。

3.2 硅片扩Ga

采用三段控制单温区扩散炉,两端均为磨口的长石英管,将清洁硅片立放在石英舟上,然后将舟推入恒温区;镓源为固态氧化镓,氢气从源舟(Ga₂O₃)上方流过,它作为镓源的反应和输运气体;片温为1250℃,源温为950℃,氢气流量为150mL/min,镓预淀积时间为20min。在高温下,氧化镓与氢气反应,先生成气态掺杂源(GaO·Ga₂O),然后在不同温度区域,继续与氢气反应,生成气态Ga,以Ga原子穿过(扩散)SiO₂膜向硅中扩散。化学反应方程如下:



低浓度Ga掺杂后,在氮气氛保护下进行结深推移(15~20h),最后再进行60min的高浓度Ga掺杂(条件基本同上)。上述三个阶段是在同一扩散炉内连续完成,最后得到所要求的样品。

4 样品的俄歇分析

样品先用氢氟酸(HF:H₂O=1:1)腐蚀去除氧化层,然后对p型扩散层的表面微区进行俄歇分析。利用Ar⁺溅射离子逐层剥离样品,可获得一定范围内特定元素的俄歇峰强度随深度变化的曲线,从dN(E)/dE-E能谱曲线上分析俄歇电子特征能量峰值的位置、形状、强弱及能量损失等特征,即可得到表面层原子的成分、含量、化学键合等方面的信息^[4]。图1至图4给出扩Ga样品的俄歇分析情况(仅给出部分俄歇能谱,其它略)。从俄歇谱看出,在近表面p型扩散层中,主要元素有Si·Ga·O·C·K·N·Cl·S等,但没有发现重金属元素。对几种样品的表面层不同微区、不同深度,进行了多次的俄歇分析,其结果基本相同。充分证明了,在高温氧化膜(SiO₂)硅片上进行Ga预淀积、长时间结深推移和高Ga掺杂的过程中,p型扩散层中没有受到外来重金属杂质的沾污,进而说明了SiO₂层对重金属有良好的屏蔽作用。

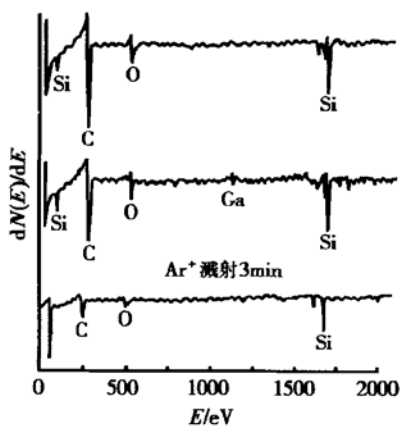
图 1 A 组样品的俄歇能谱 表面及 Ar^+ 溅射 3min

Fig. 1 Auger electron spectra of group A sample Surface and Ar^+ sputtering at 3min

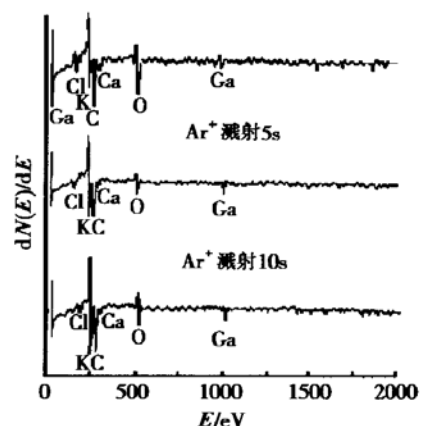
图 2 A 组样品的俄歇能谱 表面及 Ar^+ 溅射 5,10s

Fig. 2 Auger electron spectra of group A sample Surface and Ar^+ sputtering at 5 and 10s

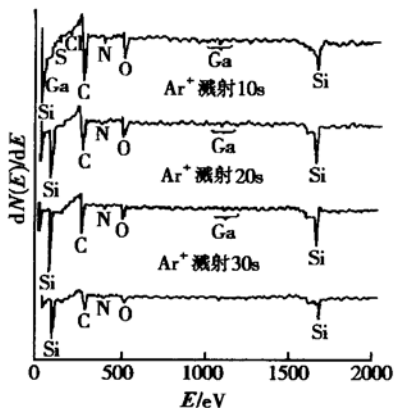
图 3 B 组样品的俄歇能谱 表面及 Ar^+ 溅射 0、
20,30s

Fig. 3 Auger electron spectra of group B sample Surface and Ar^+ sputtering at 0,20 and 30s

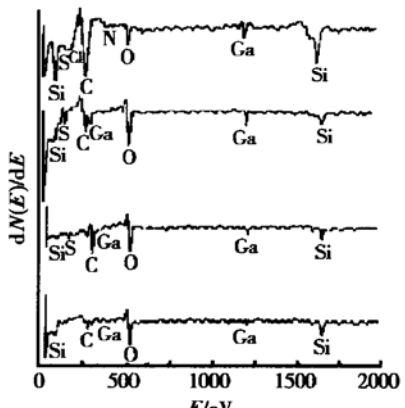
图 4 C 组样品的俄歇分析 在同一片远离溅射 30min 的
地区重选两个分析点.

Fig. 4 Auger electron spectra of group C sample Choosing another two analytical spots at the same layer away from the spots sputtered for 30min

5 分析与讨论

FZ(悬浮区熔法)的n型硅单晶纯度高,其中所含的金属杂质(Cu, Fe, Ni, Mn等)约为 $0.5\sim 2\times 10^{-9}$ 范围,含量极少,不会对器件产生影响。金属杂质的来源:扩散炉体、石英管、石英舟、气氛、净化系统、金属用具(指镊子操作划伤硅片)等,这些因素由于直接或间接的关系,不同程度地造成裸硅片的金属杂质污染。

5.1 裸 Si 系

(1) 硅片经一系列加工处理,往往在裸Si面造成比体内更多的损伤和晶格缺陷,这些区域存在应力场的作用,易构成杂质富集中心;

(2) 裸Si表面存在大量悬挂键,因受环境影响,易造成分子、原子和离子类型的杂质污染;

(3) 原子型杂质如Au,Cu,Fe,Ni,Mn等,在硅表面属于化学吸附,吸附力最强,难以去除;

(4) 在低浓度Ga和高浓度Ga掺杂过程中,扩散

系统中的 Ga 蒸汽压较高,裸 Si 面直接接触强扩散流,故 Ga 容易在上述区域富集, Ga 很可能与金属、 Si 等杂质发生化学反应;

(5)对硅而言,重金属为间隙式扩散,属于快扩散杂质,如在1200℃时,其扩散系数为 $10^{-5} \sim 10^{-6} \text{ cm}^2/\text{s}$ 。硅表面或体内的微缺陷区域(或位错密度较高),对重金属有较强的吸收作用,且在 Si 中的溶解度随温度的变化很大,如 Cu 在1200℃时其溶解度相当于室温下的一千万倍,故极少量重金属沾污在降温过程中均会导致过饱和。重金属极易沿位错线沉积,并沿位错线发生增强扩散,破坏了杂质扩散的均匀性及结深的一致性^[3]。

鉴于上述情况,重金属及其它杂质在高温扩 Ga 过程中,易在裸 Si 面造成缺陷,使扩散均匀性差,并在硅表面及体内构成复合中心,使漏电流增大。因此,严重影响器件性能及成品率。

5.2 SiO_2/Si 系

(1) SiO_2 膜的产生是 Si 与 O_2 的一种化学反应,经过高温氧化后,则原 Si 表面消失而产生新的 Si 表面。不仅由于 Si 与 O_2 的结合,基本消除了硅面的悬挂键,而且也铲除了原 Si 面的部分微缺陷,这样就减少或避免了杂质富集中心;

(2)硅表面因有高质量的 SiO_2 层覆盖,将高的 Ga 蒸汽压和扩散流与硅面隔离开,这样就避免了 Ga 、金属等杂质直接沉积在 Si 表面,即在 SiO_2/Si 界面不会发生上述杂质堆积现象,减少或防止了因扩散造成的缺陷^[2];

(3)重金属杂质在 SiO_2 中表现为慢扩散特性,如在1200℃时,其扩散系数为 $10^{-14} \text{ cm}^2/\text{s}$ 以下,与在 Si 中相比较,扩散系数相差5~9个数量级,表明重金属杂质在 SiO_2 中扩散系数很小。例如,先在硅面生长1~1.2μm厚的高质量氧化膜,通过计算,在长时间高温扩 Ga 过程中,重金属杂质不会穿过(扩散) SiO_2 层;

(4) SiO_2 对大多数电化学活泼物质不起反应,是很好的电绝缘层,它具有良好的杂质壁垒和机械屏蔽作用; SiO_2 层能使“洁净”硅面同外界隔离,它对硅面有很好的钝化和保护作用,这样就防止了金属等杂质的污染;

(5)俄歇检测灵敏度有限,深度剖析时还有择优

溅射对数据干扰等因素的影响,可能有的杂质没有检测到信号,出现“漏检”现象。但根据 SiO_2 的物理性质和化学性质,及其重金属在 SiO_2 中的慢扩散特性,一定厚度的高质量热氧化层,确保能将外来重金属杂质“捕获”于 SiO_2 层中,不会到达 Si 面及体内。若有“漏检”杂质,可能是氧化前硅表面有金属的沾污,或氧化初期来源于管道系统的金属污染。

由上述分析,后者工艺(SiO_2/Si 系)优于前者(裸 Si 系)。 SiO_2 层的钝化保护作用,及其对重金属杂质的屏蔽效应,是有效防止重金属沾污的重要因素。因此,先在硅片上热生长一定厚度的高质量氧化层,然后进行 Ga 预淀积、长时间结深推移和高 Ga 掺杂,利用 SiO_2 对重金属的屏蔽作用,可明显的提高扩散质量,消除裸 Si 系扩 Ga 的弊病,有利于改善硅器件性能,并能提高器件的稳定性和可靠性。

6 结语

通过实验和对扩 Ga 样品的俄歇分析及理论讨论,充分说明,采用 Ga 在 SiO_2/Si 系扩散工艺,利用 SiO_2 对重金属有良好的屏蔽效应,避免了p型扩散层重金属杂质的沾污,明显改善和提高了硅器件的电参数性能、稳定性、可靠性及产品合格率。

参考文献

- [1] Liu Xiuxi, Zhao Fuxian, Xue Chengshan, et al. Study on quality improvement of gallium diffusion in SiO_2/Si system and improvement of electron device performance. Chinese Journal of Semiconductors, 1995, 16(3): 235[刘秀喜, 赵富贤, 薛成山, 等. 采用 SiO_2/Si 系扩镓提高扩散质量和器件性能的研究. 半导体学报, 1995, 16(3): 235]
- [2] Liu Xiuxi, Xue Chengshan, Sun Ying, et al. Gallium doping effect in bare silicon system and SiO_2/Si system. Acta Physico-Chimica Sinica, 1997, 13(2): 153[刘秀喜, 薛成山, 孙瑛, 等. 镓在裸 Si 系和 SiO_2/Si 系掺杂效应. 物理化学学报, 1997, 13(2): 153]
- [3] Xie Mengxian, Liu Guowei. Principle of semiconductor techniques (I). Beijing: National Defense Industry Publishing House, 1980[谢孟贤, 刘国维. 半导体工艺原理(上册). 北京: 国防工业出版社, 1980]
- [4] Theory Analysis Center of Institute of Semiconductor Research, CAS. Inspection and Analysis of Semiconductor. Beijing: Science Press, 1984: 198[中国科学院半导体研究所理论分析中心研究室著. 半导体的检测与分析. 北京: 科学出版社, 1984: 198]

Auger Analysis on p Type Diffusion Layer (Using Diffusion Galium in SiO₂ Series)

Sun Ying¹ and Wang Fengying²

(1 Shandong Normal University, Ji'nan 250014, China)

(2 Ji'nan Semiconductor Research Institute, Ji'nan 250014, China)

Abstract: Using the diffusion of gallium in SiO₂/Si series, Auger analysis of gallium-diffused silicon wafer is made. No heavy metal is found in SiO₂ p type diffusion layer. This indicates that SiO₂ layer shields the heavy metal impurities effectively, and favors to improve the properties of electric parameter, the stability and reliability of silicon components.

Key words: SiO₂ layer; gallium diffusion; heavy metal impurities; Auger analysis

PACC: 6170T **EEACC:** 8140; 2830

Article ID: 0253-4177(2002)10-1088-05